

CHEMICKÝ PRŮMYSL

ROČNÍK 35 (60) • ČÍS. 11 • LISTOPAD 1985

Termokomprese par z hlavy rektifikační kolony

Jan Bartoň, Karel Ederer,

Chemopetrol, k.ú.o. Výzkumný ústav anorganické chemie, Ústí nad Labem

Redakce došlo 25. 11. 1984

66.048.37

V článku je analyzována možnost využití termokomprese par s obsahem asi 99 % vodní páry z hlavy rektifikační kolony pro přípravu páry vhodné k topení ve vařáku kolony. Z nákladové funkce dané součtem provozních nákladů na termokomprezi, nákladů na kompresor a vařáky rektifikační kolony a nákladů na nizkolakovou topnou páru byla vypočtena optimální teplota par po komprezi, resp. komprezní poměr. Optimální komprezní poměr byl vypočten $p_2/p_1 = 1,13$. Teplotou kondenzace komprimované páry a teplotou varu (asi 5 K), což vyžaduje použití velkou výmennou plochu vařáku.

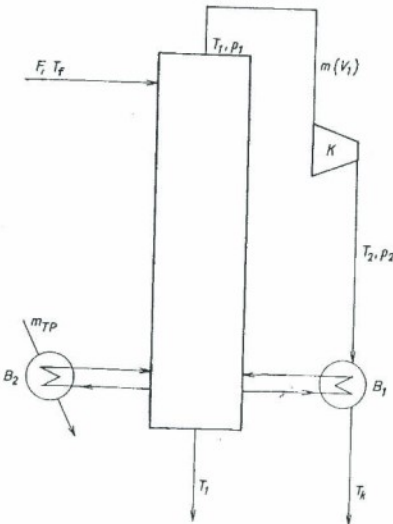
Úvod

V předcházejícím článku¹⁾ jsme popsal způsob rokuperace tepla v rektifikační koloně s využitím maximálního ekonomického efektu v případě, že se využije kondenzačního tepla par opouštějící hlavu kolony pro předohřev nástřiku prostou kondenzací. Kromě této možnosti existuje i alternativní využití páry opouštějící hlavu kolony, a to pro topení v patě kolony v případě, že se pára zkompresuje (např.²⁾). V předloženém článku jde podrobná analýza takového způsobu využití entalpie par z hlavy kolony zaměřená na nalezení optimální teploty par po komprezi.

Rozbor problému

Rektifikační kolona (o průměru 2800 mm a výšce 11 000 mm), jejíž činnost byla detailně popsána v práci¹⁾, slouží k čistění tzv. procesní vody od relativně malého množství uhlovodíků. Páry opouštějící hlavu kolony obsahují asi 99 % hmot. vodní páry, zbytek je tvořen organickými látkami jako xylen ap. Po zvýšení teploty par, např. termokomprezí, by bylo možné využít kondenzačního tepla těchto par k topení v patě destilační kolony. Na obrázku 1 je znázorněno schéma možného uspořádání proudů v případě kompreze par z hlavy kolony, na obrázku 2 pak průběh kompreze v diagramu $i-s$.

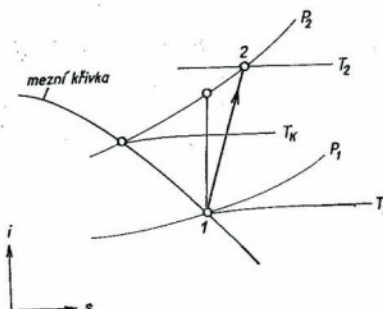
Nástřik kolony přichází s teplotou T_1 na 1. patro kolony shora. Páry opouštějící kolonu ve stavu daném podle obrázku 2 bodem 1 (p_1 , T_1) a polytropickou komprezí v kompresoru K jsou převedeny do stavu 2



Obr. 1. Schéma rektifikační kolony s termokomprezí par z hlavy kolony

(p_2, T_2). Z kompresoru K odcházejí páry do vařáku B_1 , v němž zkondenzují při teplotě T_K a kondenzát je odváděn ze systému. Kolona je kromě toho opatřena i vařákem B_2 , v němž se k vyhřívání využívá nízkotlaké topné páry m_{TP} . Je použito této koncepcie proto, aby se kondenzát nízkotlaké topné páry z vařáku B_2 nemíslil s kondenzátem z vařáku B_1 , v němž jsou obsaženy organické látky. Kondenzát vařáku B_1 se musí odvádět k čistění.

Vyšší teplotu T_2 lze dosahovat pouze s vynaložením větší spotřeby energie v kompresoru K . Vyšší teplota T_2 je příznivá pro hradec silu výměny tepla ve vařáku B_1 a zlepšení pro vyšší hodnotu entalpii páry po komprese. Čím vyšší je entalpie, resp. teplota po T_2 po komprese, tím menší může být přívod topné páry m_{TP} do vařáku B_2 . Cílem práce bylo nalézt optimální hodnotu teploty T_2 tak, aby součet provozních nákladů na komprezi v kompresoru K , nákladů na výměnnky B_1 a B_2 , nákladů na kompresor a nákladů na topnou páru přicházející do vařáku B_2 byl minimální.



Obr. 2. Komprese páry v diagramu $i-s$

Náklady na komprezi

Pro výpočet kompresní práce jsme z řady vzorců vybrali vztah³⁾:

$$W = \frac{n}{n-1} \cdot p_1 \cdot V_1 \left[\left(\frac{p_2}{p_1} \right)^{(n-1)/n} - 1 \right] \cdot \eta^{-1} \quad (1)$$

kde p_1 , V_1 je počáteční tlak a objem stlačovaného média, p_2 je tlak po komprezi, n je konstanta závislá na charakteru stlačovaného média a typu kompresoru a η je účinnost kompresoru.

Je výhodné vyjádřit tlak po komprezi p_2 pomocí teploty po komprezi T_2 ve tvaru

$$p_2 = p' \cdot T_2 + p'' \quad (2)$$

kde p' , p'' jsou konstanty závislé na počátečním stavu stlačovaného média (p_1, T_1).

Náklady na komprezi páry N_1 za čas t při ceně kilowattodiny elektrické energie C_{kwh} jsou potom

$$N_1 = \frac{n}{n-1} \cdot p_1 \cdot V_1 \left[\left(\frac{p' \cdot T_2 + p''}{p_1} \right)^{(n-1)/n} - 1 \right] \cdot C_{kwh} \cdot t \cdot \eta^{-1} \quad (3)$$

Náklady na vařák B_1

Předpokládáme, že při topení přehřátou zkompromovanou párou kondenzuje pára na celé výměnné ploše vařáku. Pro výkon vařáku potom platí

$$Q = k_1 \cdot S_1 (T_K - T_1) \quad (4)$$

Teplota kondenzace T_K je úmerná teplotě T_2 a předpokládáme, že platí

$$T_K = aT_2 + b \quad (5)$$

(komprezí vzniká přehřátá pára, jejíž kondenzační teplota T_K odpovídá systému při tlaku po komprezi). Pak lze vztah (4) upravit na

$$Q = k_1 \cdot S_1 (aT_2 + b - T_1) \quad (6)$$

Množství tepla předané vařákem využívajícím zkompromovanou páru za jednotku času je z bilance rovno:

$$Q = m \cdot \Delta H \quad (7)$$

Pro využitelné тепло komprimované páry ΔH předpokládáme, že platí

$$\Delta H = cT_2 + d \quad (8)$$

Při ceně 1 m^2 výměnné plochy C_s činí náklady na vařák B_1

$$N_2 = C_s (cT_2 + d) / k_1 (aT_2 + b - T_1) \quad (9)$$

Náklady na údržbu vařáku během doby t jsou zanedbány.

Náklady na vařák B_2

Protože pro celkové množství tepla Q_e , které musí být do kolony dodáno za jednotku času, platí

$$Q_e = F \cdot c_{p,1} (T_1 - T_f) + m \cdot \Delta H_{v,p} \quad (10)$$

kde první člen na pravé straně vztahu (10) představuje тепло spotřebované na ohřátí nášťátku k bodu varu v koloně a druhý člen výparné тепло. Pro výkon vařáku na topnou páru lze psát

$$Q_{TP} = F \cdot c_{p,1} (T_1 - T_f) + m \cdot (\Delta H_{v,p} - \Delta H) \quad (11)$$

Náklady na vařák jsou:

$$N_3 = C_s \cdot Q_{TP} / k_2 (T_{TP} - T_1) \quad (12)$$

s tím, že náklady na údržbu výměníku jsou opět zanedbány.

Náklady na topnou páru

Spotřeba topné páry ve vařáku B_2 je

$$m_{TP} = Q_{TP} / \Delta H_{kond, TP} \quad (13)$$

se zanedbáním tepelných ztrát.

Náklady na topnou páru při ceně kilogramu páry C_{TP} dosahovou za dobu t :

$$N_4 = 3600 \cdot m_{TP} \cdot C_{TP} \cdot t \quad (14)$$

Náklady na kompresor

Cena kompresoru závisí zejména na jeho výkonu a na podmínkách komprese (podle požadavků na

kompresi je třeba volit typ kompresoru). Protože v daném případě je množství páry pro komprezi konstantní, předpokládáme, že náklady na kompresor N_{e} jsou přímo dány jeho cenou C_{K} . Náklady na údržbu zanedbáváme.

Celkové náklady

Pro účelovou nákladovou funkci N_{e} celkových nákladů na zabezpečení funkce rektifikovační kolony po energetické stránce platí

$$N_{\text{e}} = \sum_{i=1}^5 N_i \quad (15)$$

Diferenciální funkce $N_{\text{e}}(T_2)$ podle teploty T_2 po komprezi obdržíme

$$\begin{aligned} N'_{\text{e}} = & p' p_1 V_1 t C_{\text{kWh}} \left(\frac{1}{p_1} \right)^{(n-1)/n} (p' T_2 + p'')^{-1/n} \eta^{-1} + \\ & + C_{\text{b}} \cdot m \cdot \frac{c(aT_2 + b - T_1) - a(cT_2 + d)}{k_1(aT_2 + b - T_1)^2} - \\ & - mc \left(\frac{C_{\text{b}}}{k_2(T_{\text{TP}} - T_2)} + \frac{3600 t C_{\text{TP}}}{H_{\text{kond, TP}}} \right) \quad (16) \end{aligned}$$

položením $N'_{\text{e}} = 0$ lze např. metodou půlení intervalu nalézt dva kořeny, pro které je podmínka $N'_{\text{e}} = 0$ splněna. Reálný význam má pouze kořen $T_2 > T_1$.

Výsledky a diskuse

Vlastnosti kapalné i plynné fáze v koloně jsou approximovány vlastnostmi čisté vody. Předpokládáme, že teplota T_1 v koloně je 109 °C, tlak p_1 140 kPa. V tabulce I jsou uvedeny hodnoty tlaku a teploty páry při izoentropické adiabatické komprezi páry z teploty a tlaku v koloně a využitelné teploty páry po komprezi ΔH .

Tabulka I

Vlastnosti komprimované páry při izoentropické komprezi z tlaku $p_1 = 140 \text{ kPa}$ a teploty $T_1 = 109 \text{ }^{\circ}\text{C}$)

| p_2 [kPa] | T_2 [°C] | T_k [°C] | ΔH [kJ kg ⁻¹] |
|----------------|---------------|---------------|--------------------------------------|
| 150 | 116 | 112 | 2232 |
| 160 | 121 | 114 | 2234 |
| 180 | 132 | 117 | 2241 |
| 200 | 142 | 120 | 2247 |
| 220 | 152 | 123 | 2253 |
| 240 | 161 | 126 | 2258 |
| 260 | 169 | 128 | 2264 |
| 280 | 177 | 131 | 2267 |
| 300 | 183 | 133 | 2269 |

Pro kondenzační teplotu T_k bylo lineární regresi s daty z tabulky I získáno

$$T_k = 0,306 T_2 + 76,62 \quad r_{x,y} = 0,999 \quad (17)$$

Podobně pro využitelné teplo komprimované páry a pro tlak po komprezi byly získány lineární regresi vztahy

$$\Delta H = 0,583 T_2 + 2164,4 \quad r_{x,y} = 0,997 \quad (18)$$

$$p_2 = 2,183 T_2 - 107,2 \quad r_{x,y} = 0,997 \quad (19)$$

Pro střední tepelnou kapacitu $c_{p,i}$ byla brána v teplotním intervalu 80 až 109 °C stejná hodnota jako v práci³.

Tabulka II
Parametry nákladové funkce

| parametr | hodnota | rozměr |
|-----------------------------|---------|-------------------------------------|
| a | 0,306 | — |
| b | 76,62 | °C |
| c | 0,583 | kJ kg ⁻¹ K ⁻¹ |
| $c_{p,i}$ | 4,191 | kJ kg ⁻¹ K ⁻¹ |
| C_s | 1 000 | Ks m ⁻² |
| C_{TP} | 0,055 | Ks kg ⁻¹ |
| C_{kWh} | 0,232 | kčs kWh ⁻¹ |
| d | 2 164,4 | kJ kg ⁻¹ |
| F | 45 | kg s ⁻¹ |
| k_1 | 0,5 | kW m ⁻² K ⁻¹ |
| k_2 | 2 | kW m ⁻² K ⁻¹ |
| m | 3,05 | kg s ⁻¹ |
| (na) | 1,4 | — |
| ΔH_{vfp} | 2 232 | kJ kg ⁻¹ |
| $\Delta H_{\text{kond,TP}}$ | 2 345 | kJ kg ⁻¹ |
| p | 2,183 | kPa K ⁻¹ |
| p'' | -107 15 | kPa |
| p_1 | 140 | kPa |
| t | 80 000 | h |
| T_1 | 109 | °C |
| V_1 | 3,84 | m ³ s ⁻¹ |
| η | 0,75 | — |

a) lit.³

Parametry nákladové funkce (15) jsou přehledně uvedeny v tabulce II. Volba součinitelů prostupu tepla ve vařáčích B_1 a B_2 vychází z počtu součinitelů prostupu tepla pro var vody a kondenzaci nízkotlaké topné páry ve vařáku B_2 za podmínek v koloně. Součinitel prostupu tepla při varu, vypočtený podle literatury⁵, činí pro volenou hustotu topelného toku ve vařáku $q = 20 \text{ kW m}^{-2}$ asi $3 \text{ kW m}^{-2} \text{ K}^{-1}$. Součinitel prostupu tepla při kondenzaci topné páry o tlaku 350 kPa a teplotě 200 °C na vnějším povrchu svíslých trubek s pseudolaminárním tokem kondenzátu byl podle⁶) stanoven asi $9 \text{ kW m}^{-2} \text{ K}^{-1}$. Pro součinitel prostupu tepla ve vařáku B_2 vychází při zanedbaní odpornosti stěny vařáku $k_2 = 2,5 \text{ kW m}^{-2} \text{ K}^{-1}$. V případě použití komprimované páry z hlavy kolony pro topení ve vařáku B_1 , může organická fáze přítomná v pářích v hlavě kolony snížit součinitel prostupu tepla při kondenzaci komprimované páry. Z této důvodu volíme hodnoty $k_2 = 2 \text{ kW m}^{-2} \text{ K}^{-1}$, resp. $k_1 = 0,5 \text{ kW m}^{-2} \text{ K}^{-1}$.

Pro data uvedená v tabulce II byly získány výsledky, které jsou shrnuty v tabulce III.

Jak vyplývá z tabulky III, kompreze je třeba získat páru o teplotě asi 122 °C, což odpovídá stlačení páry z hlavy kolony z tlaku 140 kPa na 158,8 kPa (komprezí poměr $p_2/p_1 = 1,13$). Na tomto místě je třeba připomenout, že vztahy (17) až (19) platí pro ideální izoentropickou komprezi. Skutečná komprese probíhá vždy s přírůstek entropie (obr. 2). Tento jev vztahy

Tabulka III
Výsledky výpočtu teploty T_2

| T_2 | $121,8 \text{ }^{\circ}\text{C}$ | S_1 | 1061 m^2 |
|-------|----------------------------------|-----------------|--------------------------|
| p_2 | $158,8 \text{ kPa}$ | S_2 | 91 m^2 |
| T_k | $113,9 \text{ }^{\circ}\text{C}$ | m_{TP} | $2,33 \text{ kg s}^{-1}$ |

(17) až (19) nozohlednoují. Pro malé kompresní poměry není chyba tímto jevem způsobena veliká a použití vztahů (17) až (19) je opodstatněné.

Tim, že se využívá entalpie páry z hlavy rektafikační kolony, sníží se spotřeba topné páry o $2,91 \text{ kg s}^{-1}$ (asi o 50 %); totéž snížení spotřeby se za dobu 80 000 provozních hodin prominuté celkovou úsporou topné páry ve výši 46 mil. Kčs.

Po doplnění uvádime v tabulce IV vliv velikosti součinitele prostupu tepla k_1 na teplotu páry T_2 po komprezi a na plochu vařáku B_1 . Úspora topné páry je pro všechny hodnoty k_1 prakticky shodná. Se snížující se hodnotou k_1 se zvyšují požadavky na kompresní poměr kompresoru. V tabulce V je uveden vliv požadovaného tlaku par po komprezi na instalovaný výkon elektromotoru.

Tabulka IV
Vliv součinitele prostupu tepla k_1 na teplotu T_2 , T_k , tlak p_2 a plochu S_1

| k_1 [$\text{kW m}^{-2} \text{K}^{-1}$] | T_2 [°C] | T_k [°C] | p_2 [kPa] | S_1 [m ²] |
|---|---------------|---------------|----------------|----------------------------|
| 1,25 | 115,6 | 112,0 | 145,2 | 823 |
| 1,00 | 116,8 | 112,4 | 147,9 | 867 |
| 0,75 | 118,7 | 112,9 | 151,9 | 937 |
| 0,50 | 121,8 | 113,9 | 158,8 | 1061 |
| 0,25 | 129,3 | 116,2 | 175,2 | 1342 |

Tabulka V
Vliv žádaného tlaku p_2 na instalovaný výkon N elektromotoru ($\eta = 0,75$)

| p_2 [kPa] | p_2/p_1 | N [kW] |
|-------------|-----------|----------|
| 150 | 1,07 | 48,7 |
| 170 | 1,21 | 139,6 |
| 190 | 1,35 | 223,2 |

Při komprezi páry z hlavy kolony na 190 kPa vycházejí provozní náklady na kilogram této páry pouze asi 0,5 haléře, tj. asi desetkrát méně než náklady na topnou páru. Pro námi požadovaný stupeň kompreze ($p_2/p_1 = 1,13$) a průtok par ($V_1 = 3,84 \text{ m}^3 \text{ s}^{-1}$) vyplývá pro příkon elektromotoru kompresoru hodnota asi 100 kW. Tento podmínek přiblížně vyhovuje kompresor ČKD typu TD IRLN neboli kompresor plniacích turbodmychadel První brněnské strojírny typu PDH. Tyto kompresory jsou však určeny zejména pro komprezi vzduchu a při použití k komprezi páry by bylo zřejmě nutné provést některé konstrukční úpravy²⁴⁾. Celkové náklady na instalaci kompresoru a vařáky s větší výměnnou plochou odladujeme na 1 až 2 mil. Kčs, což při roční úspore energie kolem 4 mil. Kčs známoucí investiční návratnost 0,5 roku.

Protože ve vztahu (11) přiblížně platí, že výparné teplo páry v koloně a její kondenzační teplo ve vařáku B_1 je stejně, topná pára do vařáku B_2 slouží de facto k ohřevu náštku kolony buď do baru. Pouze v případě, že by teplota náštku T_1 byla blízká teplotě varu v koloně, by k činnosti kolony stačil vařák B_1 .

Ve srovnání s úsporou topné páry v práci¹⁾, která byla za období 80 000 provozních hodin asi 39 mil. Kčs, je varianta uvedená v této práci o asi 7 mil. Kčs

úspornější. Avšak v případě využití kondenzačního par z hlavy kolony popsané v práci¹⁾ nemohlo být přímo v koloně využito veškeré kondenzační teplo par, protože ho nástřik není schopen úplně akumulovat.

Závěr

Předložený práce ukázala výhody termokomprese par v rektafikační koloně. Pára k topení získaná termokomprezí je asi 10krát lacnejší než pára využitelná klasickým způsobem. Při topení komprimovanou párou je výhodné používat relativně malou teplotu diferenční mezi teplotou kondenzační a teplotou varu (v daném případě asi 5 K) s tím, že malá hnací síla výměny tepla musí být kompenzována většou výměnnou plochou vařáku (v daném případě kolem 1000 m²).

Seznam symbolů

| | |
|-------------------------------------|--|
| a | — konstanta vztahu (5) |
| b | — konstanta vztahu (5) |
| B_1 | — vařák na zkompresovanou páru |
| B_2 | — vařák na topnou páru |
| c | — konstanta vztahu (8) |
| $c_{p,1}$ | — střední tepelná kapacita náštku [kJ kg ⁻¹ K ⁻¹] |
| C_{kh} | — cena kilowatthodiny |
| C_{p} | — cena výměnné plochy vařáku [kNm ⁻²] |
| C_{TP} | — cena topné páry [kčs kg ⁻¹] |
| d | — konstanta vztahu (8) |
| F | — průtok náštku [kg s ⁻¹] |
| ΔH | — využitelné teplo komprimované páry [kJ kg ⁻¹] |
| $\Delta H_{\text{kond}, \text{TP}}$ | — kondenzační teplo topné páry [kJ kg ⁻¹] |
| ΔH_{vyp} | — výparné teplo páry v rektafikační koloně [kJ kg ⁻¹] |
| K | — kompresor |
| k_1 | — součinitel prostupu tepla ve vařáku B_1 [kW m ⁻² K ⁻¹] |
| k_2 | — součinitel prostupu tepla ve vařáku B_2 [kW m ⁻² K ⁻¹] |
| m | — hmotový průtok par z hlavy kolony [kg s ⁻¹] |
| m_{TP} | — průtok topné páry do vařáku [kg s ⁻¹] |
| N | — instalovaný výkon elektromotoru [kW] |
| N_c | — celkové náklady [kčs] |
| $N_{\text{L},1} = 1,5$ | — náklady [kčs] |
| n | — konstanta vztahu (1) |
| p_1 | — tlak par v koloně [kPa] |
| p_2 | — tlak par po komprezi [kPa] |
| p', p'' | — konstanty vztahu (2) |
| Q | — výkon vařáku na zkompresovanou páru [kW] |
| Q_{TP} | — celkový tok tepla do kolony [kW] |
| q | — výkon vařáku na topnou páru [kW] |
| $r_{x,y}$ | — korelační koeficient lineární regrese mezi jednou nezávislou a jednou závislou proměnnou |
| S_1, S_2 | — plocha vařáku B_1, B_2 |
| t | — provozní doba |
| T_1 | — teplota v koloně [°C] |
| T_2 | — teplota par po komprezi [°C] |
| T_k | — teplota náštku [°C] |
| T_x | — teplota kondenzační zkompresované páry [°C] |
| T_{TP} | — teplota kondenzační topné páry [°C] |
| V_1 | — objemový průtok par z hlavy kolony [m ³ s ⁻¹] |
| W | — kompresní práce [kJ] |
| η | — účinnost kompresoru |

Literatura

1. Bartoň J., Ederer K.: Chem. prům. (v tisku). — 2. Weimer L. D., Dolf H. R., Austin D. A.: Chem. Eng. Progr. November, 70 (1980). — 3. Chlumský V.: *Pístové kompresory*, SNTL Praha 1958. — 4. Rikvín S. L., Alexandrov A. A.: *Teplofyzikální svárovná vodivost a vodivost par*, Energija, Moskva 1980. — 5. Šorin S. N.: *Sídlení typů*, SNTL/ALFA, Praha 1968. — 6. Pečchov V. a kol.: *Příklady chemickotechnických výpočtů II*, SNTL Praha 1964. — 7. Informace ČKD Praha, závod Komprezory, 1984. — 8. Brnovský L: *Studie kompresér plniacích turbodmychadel*. Zpráva Z-08-04/82. První brněnská strojírna, Velká Bíteš, 1982.